

3 鮫川河口の水理について

東北大學工學部 沢崎敬次

" " ○工藤登吾

" " 内山陽一

東北工業大學 古川光一

§ 1 はしめき

鮫川は福島県東白河郡鮫川村戸原地内阿武隈余三林山に源を発する河床面積570.9 km² 流路延長50 kmの本河川である。この河川流域は現在勿来市岩舟地区を対象としている様子だが過去の資料及び土地の人の証言によると多くの変遷をたどりつつある。現在の河口に於いても年節的に常に洪水の度毎に変化してころかれていている。これらの河口変動の原因として多くのfactorが考えられ河道を多くの人々がこれに關し研究し報告してころび確定的な答を出さないにいたつといふ。従つてこの河口変動を知るには種々なアプローチの仕方があると思うが矢矧何よりも一番大切なのは現実の河口の現地特性(水理特性、根柢特性、底質特性、断面特性、気象特性……etc.)を知る事でありこれが解析の第一歩であると考えられる。今回まではこうした主旨に基づき3回にわたり行なった現地調査河口調査員がそれらに対する計算考察を若干報告する。図1は調査対象としれた鮫川河口の概略図であり表1は今回の研究の進み方を模式的に示したものである。

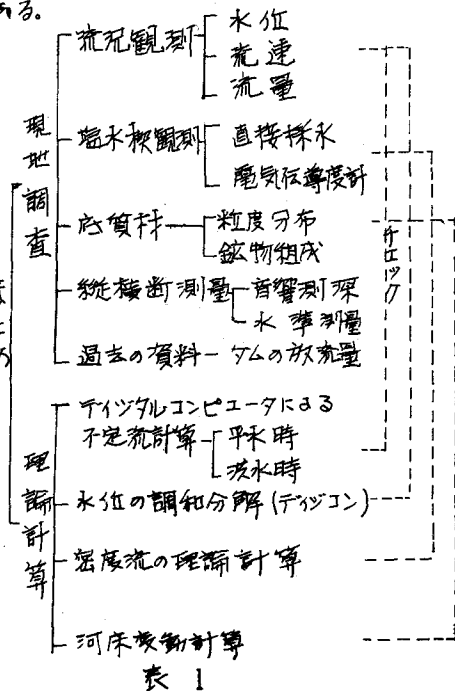
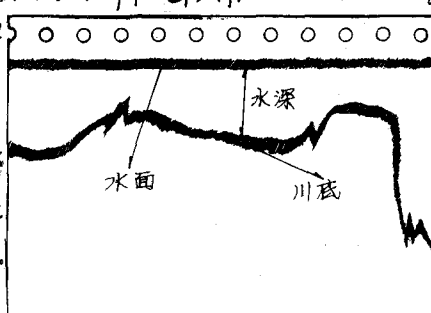


図 1 鮫川河口 (5000)

§ 2 現地調査方法

水位観測は自記水位計(リレーナー型1, 可搬式水位計2)と臺水板を併用して行つた。可搬式水位計は机鏡を水底に沉めその水位に比例した浮き柱を陸上の配線計にボースで伝達する方式のもので十分な精度を得られた。流速は浮標式流速計やライス流速計を使用し塩水換算計により風速換算計による塩素量測定を併用した。この河川の断面特性を知る為の横断測量には音響測深機を併用し船を等速航行させ連続測深を行つた。2回に亘る記録の一例を示す。

図 2 →



§3 調査と計算の結果

3-1 水位、流量、流速

図3に今回の実測結果と計算結果を示す。不定流計算は東北大屋予計算センターのS2200-MODEL500によつて行なつた。簡単に計算方法を述べると

$$\text{運動方程式 } \frac{1}{2} \frac{\partial U}{\partial t} + \frac{\partial Z}{\partial x} + \frac{\partial}{\partial x} \left(\frac{U^2}{2g} \right) + \frac{m^2 U^2}{R^{1/2}} = 0 \quad \dots \dots \dots (1)$$

$$\text{連続方程式 } \frac{\partial A}{\partial t} + \frac{\partial Q}{\partial x} = S \quad \dots \dots \dots (2)$$

(1)(2)式を差分化(境界条件として下流端に実測水位或ひる外海潮位($Z-t$)をと)、上流端では流量($Q-t$)を手入数値計算した。尚未解いた不等流計算の結果を示す。ここで問題となるのは Δt と Δx のとり方一般に $\frac{\Delta x}{\Delta t} \leq (\sqrt{g} h)_{\max}$ なら収束が良いとしている。該川の場合調査区間全体で河口から約5km位($Z-t$ 然併し計算子間隔も小さくない)粘性係数のcaseを平均すると $\Delta x = 500m$ $\Delta t = 20-30$ sec 送り $\frac{\Delta x}{\Delta t} = 16-25$ となり $(\sqrt{g} h)_{\max} = 10$ となり大きくなつて精度が保たれず、図3のAは

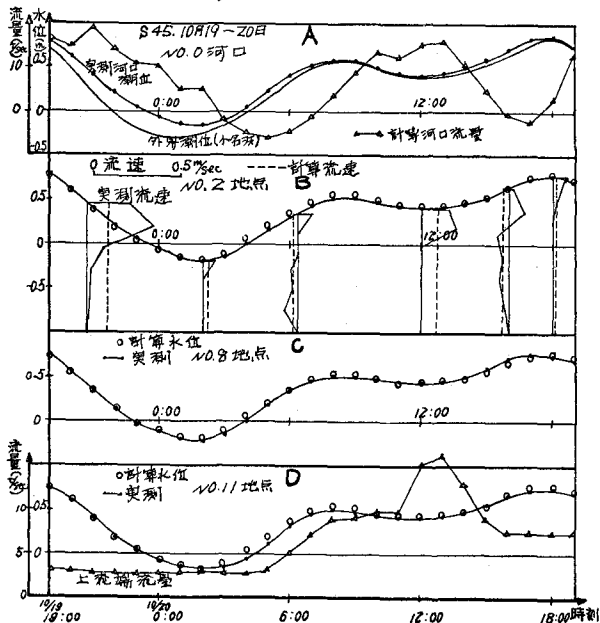


図3. 調査時の流れ図

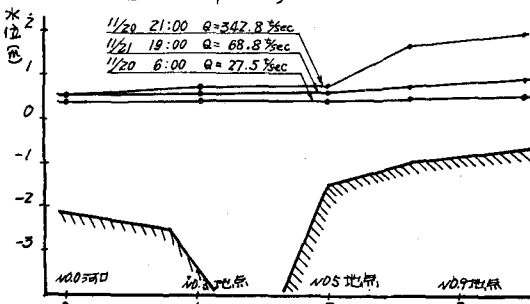


図4. 洪水時の水面形

1970年10月19日の24時間流域観測時の河口の実測水位と3つの時の不等流計算の結果である。○—○は計算による河口流量である。B,C,Dは各測定時の実測水位と計算水位の比較でかなりよく一致している。またB,Dには実測及び計算の流速分布を示した。これを見ると上下潮下潮時と流速の反転が対応しており、A図の河口流量ともより相関を示している。次にD図には適切な境界条件特に河口の計算で河口水位が実測で与えられるならば計算でも十分流れを把握出来ると考えられる。しかしこの計算表では流速が平均流速よりも少しある河口の様に塩分の侵入により密度流を形成している場合の実の流速分布が分からず今後二層流を考えた不定流解析を確立するのが一つの課題である。次に図4は1970.12.19の豪雨による洪水時の計算による水面形である。これはり流量の少ない時は水面勾配はほとんどないが流量の大きい洪水ピーク時に河口の水面から急に勾配が大きくなる。これは河口から5の地点までの水面形状とともに大きく5の河口は急激に断面が小さくなる。これは河口からN0.5の所では外海と同じように浸透を率いがこのトロールセグションにありあたりが河口の横流を呈してある。これは塩水楔の現象を述べる。

3-2 塩水楔

前節では河口の一般的な流れを述べたが現実の河口を知りには海水の侵入による影響を考えに入れる必要がある。河口に侵入する海水は主に渦汐の大さき、河川流量、地形特性によりその侵入長が限定される。又河川水と海水の密度差の為密度流が形成される。その流れは H. STOMMEL によるところ混合作用により弱混合型、緩混合型、強混合型の3つに大別される。一一二)を強混合である弱混合をいい緩混合型について述べる。密度流の一般的な式を表す。記号は図5に示す。

$$\frac{1}{g} \frac{\partial u_1}{\partial t} - i + \frac{\partial f_1}{\partial x} + \frac{\partial f_2}{\partial x} + \alpha \frac{\partial}{\partial x} \left(\frac{u_1^2}{2g} \right) + i_{f_1} = 0 \quad \dots \dots (3)$$

$$\frac{1}{g} \frac{\partial u_2}{\partial t} - i + (1-\epsilon) \frac{\partial f_1}{\partial x} + \frac{\partial f_2}{\partial x} + \alpha \frac{\partial}{\partial x} \left(\frac{u_2^2}{2g} \right) + i_{f_2} = 0 \quad \dots \dots (4)$$

$$\frac{\partial h_1}{\partial t} + u_1 \frac{\partial f_2}{\partial x} + f_2 \frac{\partial u_1}{\partial x} = 0 \quad \dots \dots (5)$$

$$\frac{\partial h_2}{\partial t} + u_2 \frac{\partial f_1}{\partial x} + f_1 \frac{\partial u_2}{\partial x} = 0 \quad \dots \dots (6)$$

一一二) i_{f_1} i_{f_2} の摩擦勾配 i_f $i_f = \frac{i_1 - i_2}{f_1 g f_2}$ であり、 i_f は更に次の様にかける。

$$i_f = f_i' \cdot \frac{f_b}{2} (u_1 - u_2) |u_1 - u_2| \quad f_b = f_b' f_2' u_2 / |u_2| \quad f_i', f_b' は内部摩擦係数及び底の抵抗係数である。$$

今定常状態を考慮して $i = 0 \Rightarrow \frac{u_1^2}{g f_1} \ll 1$ 積潮時 $u_2 = 0$ 等を仮定して式を変形して $\dots \dots (7)$ 式の型を表す。一一二) $u_2 = \frac{f_1^3}{g} \quad (\bar{F}_1)^2 = \frac{u_1}{f_1 g h^3} \times \text{お} \dots \dots$

$$\frac{\partial u_2}{\partial x} = \frac{f_1'}{2h} \cdot \frac{1}{y_2 - (\bar{F}_1)^2 \cdot y_2 (1 - y_2)} \quad \dots \dots (7)$$

(7)式を積分して $x = 0 \Rightarrow (y_{1c})^3 = (\bar{F}_1)^2$ の条件を考慮すると (8) 式が導かれる。

$$x = \frac{2f_1}{f_1'} \left[\frac{1}{2}(1 - y_2)^2 - (1 - y_2) + \frac{1}{4}(\bar{F}_1)^2 (1 - y_2)^4 - \frac{1}{5}(\bar{F}_1)^2 (1 - y_2)^5 + \frac{3}{4}(\bar{F}_1)^2 \right] - \frac{3}{10}(\bar{F}_1)^{\frac{4}{3}} \quad \dots \dots (8)$$

従って塩水楔の侵入長 $y_{1c} = 0$ における $x = L$ を示す。

$$L = \frac{2f_1}{f_1'} \left[\frac{1}{20}(\bar{F}_1)^2 - \frac{1}{2} + \frac{3}{4}(\bar{F}_1)^{\frac{2}{3}} - \frac{9}{10}(\bar{F}_1)^{\frac{4}{3}} \right] \quad \dots \dots (9)$$

図6, 7, 8 は海水による塩素量を確定して結果を示す等塩素量線である。塩素量は 30 ppm. やり 18000 ppm. 位の間である。等塩素量線の模型をしづら海水の大半河口から 3.0 ~ 3.5 km 位の地点まで侵入している事が分かる。次に塩素量の垂直分布をみると河口より 2 km 位までの所では表層と底層との塩素量の差はほとんどなく、ほぼ海水とみなしえる程度である。一方 2 km より上流だと表層と底層との差が著しく、密度流を形成している。これは先に水位の

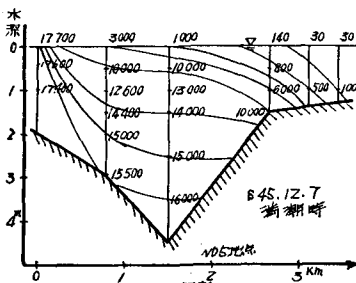


図6 等塩素量線

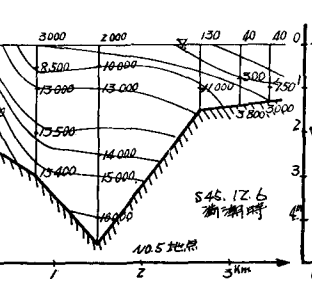


図7

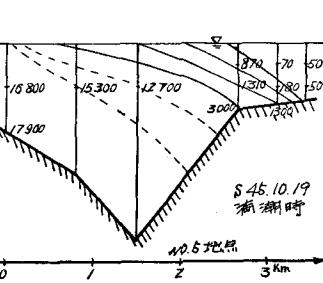


図8

河口より 2 km の地点までの断面が水深中央で一様と同一の水理状況であると考えられる 2 km 地点より海水が河川に侵入していける印象をもつ。2 km より上流では塩素濃度が 1000 ~ 3000 ppm を境として急激に変化していく。従って 3000 ppm を塩水と淡水の分界とした境界面を考える方がえらかと思う。これを図示したのが図 9 である。河口より 2 km の地点を一つの支配断面とすると塩水楔の侵入長は約 1 ~ 1.5 km 程度である事が分かる。前述の(8), (9)式を用いて 2 km 付近を新しい河口とみなして塩水楔長、境界面を求めたものが破線で示されている。ここで問題となる内部境界面の拡張係数 f'_i の取り方で多くの研究者によつて提唱されているが未計算では推奨の式 $f'_i = 1/2$ である。

$$4 = F^2 \times Re = \frac{U_1^2}{\nu g f_i} \cdot \frac{U_1 h_1}{\nu} \quad \text{用いて計算してい}$$

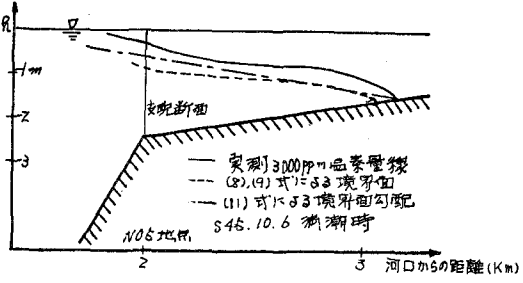


図 9

上述の計算方法と別に塩水淡水の境界面を知る別の実用的計算法を試みよう。基本式は、(3), (4), (5), (6), (7) 式と同じである。(3)式 - (7)式より (但し $\frac{dh_1}{dx} = 0$ とする)

$$\varepsilon \frac{dh_1}{dx} + \frac{d}{zg dx} (U_1^2 - U_2^2) = f'_i - f_i = f'_i - \frac{U_1 U_2}{zg f_i} - f_i \frac{(U_1 - U_2)(U_1 + U_2)}{zg f_i} - f'_i \frac{(U_1 - U_2)(U_1 + U_2)}{zg f_i} \quad (10)$$

ここで後混合の場合を仮定する場合、 U_2 にそれが程正確な差が生じないことを考えると実室的 $f_i = f'_i$ となる。この式を用いて(10)式を非導半簡略化されると(10)式の左辺が零となる。

$$\frac{dh_1}{dx} = f'_i \frac{U_1 U_2}{zg f_i} \quad (11) \quad \text{ここで } f'_i = \frac{2g}{C^2} \quad C = \frac{R^{1/6}}{m} \text{ とする}$$

U_2, f_i, f'_i が与えられるならば(11)式より $\frac{dh_1}{dx}$ 即ち境界面の勾配の極端直を知る事が出来る。(11)式を計算した時の長さは $U_1 = 0.15 \text{ m/sec}$ とし平均水深 $h = 1.3 \text{ m}$ とすると $\frac{dh_1}{dx} = 1/100 \text{ m/m}$ となり実測侵入長と近い値を示している。又(11)式と同様に条件の時計算すると $\frac{dh_1}{dx} \approx 1/200$ となり実測勾配(但し 3000 ppm 領域)に近似している。従つて(9), (11)式による内部境界面勾配と摩擦勾配のつりあい状態が計算された支配断面附近を離れるとき考えられる。

まとめ

以上主に現測時の水位流量流速及び塩水楔について述べた。分かった事は平水時に水頭勾配のことはない事、河口から 2 km 附近では進行流の影響のみうける様な流れを呈する事。これは塩水楔の侵入状況からも分かった。また多くの密度流は弱混合型から後混合型に分類される事。現在、水位の周期分析、底質特性等解析中であるが界面の都合で報告出来ず機会があつたら報告したい。尚資料をいざなう提供して下さった鹿島県土木事務所の方々に深く感謝いたします。最後に本研究は昭和45年度文部省科学研究費の援助をうけた。

参考文献; (1) 岩崎敏夫; 密度流の諸問題 (1966 年度水工学に関する定期研修会講義集)

(2) 伊藤利郎, 佐藤清一, 岩井, 富永正照; 河口の塩水楔 (第 5 回海岸工学講習会)

(3) R.H. KEULEGAN; The Mechanism of an Arrested Saline Wedge (Estuary & Coastal Hydrodynamics 第 11 章 P546)